

流水による斜面前壁に関する一考察

金沢大学工学部 正員 西田義親
 全 高橋信忠
 清水建設KK 射場正和
 石川高尙 ○ 布本 博

1. はじめに

斜面の浸食崩壊に関する研究は水理学的条件および土質工学的条件の複雑な要素を伴うもので、実際問題を解決するには十分とはいえない現状である。本研究は、こうした浸食崩壊に影響を与えると思われる、揚力および流体抵抗を考慮し砂粒子が移動し始め時の平衡状態をとり扱い、実験値と比較検討するものである。

2. 理論的解析

平衡条件式は砂の粒子1個を対象としてこの砂粒子を球と考え、図-1のように上半分が斜面上に出ているものとする。また、斜面は半無限に続くものとし、土は粘着性がなく水によって完全に飽和されていて、浸透流は斜面に平行な流線をもち、2次元流と仮定する。砂粒子の自重、浮力、浸透圧について赤井の理論的考察と同じであるが、これに浸透流と表面流の流速差による揚力、さらに表面流による流体抵抗を考慮して計算を行なったものである。粒子の直径を d 、土の単位重量 γ_s 、水の単位重量 γ_w 、とする。自重 G 、浮力 F 、浸透圧 P は、

$$G = \frac{4}{3} \pi (\frac{d}{2})^3 \gamma_s, \quad F = \frac{4}{3} \pi (\frac{d}{2})^3 \gamma_w, \quad P = \frac{1}{2C} \pi (\frac{d}{2})^2 p, \quad \dots \dots \dots (1)$$

となる。 C は粒子の形と間隙の大きさによる係数で、 p は単位面積当たりの浸透圧である。次に表面流速を v_i 、浸透流速を v_s とすると流速差によつて生ずる揚力 L は、

$$L = \frac{1}{6} \pi \rho_w d^2 (v_i^2 - v_s^2) \quad \dots \dots \dots (2)$$

となる。ここに、 ρ_w は水の密度である。また、表面流の流速による流体抵抗は、

$$R = \frac{\rho_w}{2} C_d v_i^2 \frac{\pi}{4} d^2 \times \frac{1}{2} = \frac{\pi}{16} d^3 C_d \rho_w v_i^2 \quad \dots \dots \dots (3)$$

ここに、 C_d は球の抵抗係数である。水中の砂粒子の単位重量を $(\gamma_s - \gamma_w)$ とすると、鉛直方向の力 N は

$$N = (G - F) \cos \theta - L = \frac{4}{3} \pi (\frac{d}{2})^3 (\gamma_s - \gamma_w) \cos \theta - \frac{1}{6} \pi \rho_w d^2 (v_i^2 - v_s^2) \quad \dots \dots \dots (4)$$

となる。流れの方向の力 S は、

$$S = (G - F) \sin \theta + R + P = \frac{4}{3} \pi (\frac{d}{2})^3 (\gamma_s - \gamma_w) \sin \theta + \frac{\pi}{16} d^3 C_d \rho_w v_i^2 + \frac{1}{2C} \pi (\frac{d}{2})^2 p \quad \dots \dots \dots (5)$$

水中の砂の内部摩擦角を ϕ とすれば安定の平衡条件式は

である。以上の結果、(6)式に(4), (5)式を代入し整理すると、平衡条件式は次のようになる。

$$\frac{d}{3}(\gamma_s - \gamma_w) \sin \theta + \frac{C_d}{\delta} f_w v_i^2 + \frac{P}{4C} = \frac{I}{3} \left\{ d(\gamma_s - \gamma_w) \cos \theta - f_w (v_i^2 - v_s^2) \right\} \tan \varphi \quad \dots \dots (7)$$

卷 - 1

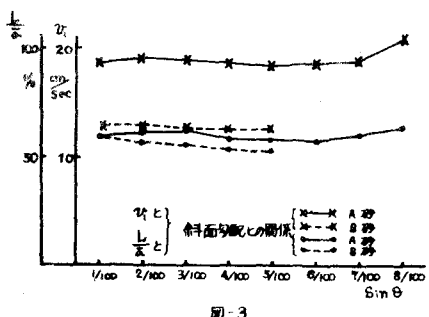
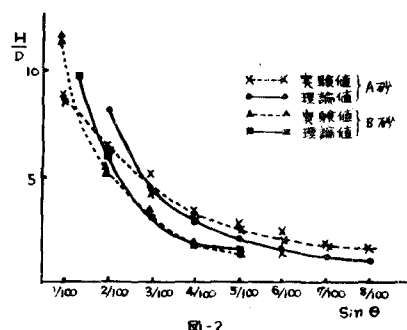
3. 実験

実験に用いた砂れきは表-1に示す。実験水路は勾配可変式開水路で全長8m、内幅0.3m、内高0.25mの木製水路の内側に透明合成樹脂

製の開水路をはじめ込んだもので、勾配は $1/100$, $2/100$ …… $8/100$ について実験を行はつた。斜面の表面は不均一のがいようく、できるだけ一様にする必要があるのでコテ仕上げを行はない、表面流の流速、水深、流量の測定は砂れきが移動開始する瞬間にに行はつた。

4. 考察

図-2は水深Hと崩壊してすべり出す砂層の厚さD(平均粒径)の比 H/D と勾配との関係を表したものである。これより粗砂、細砂などの斜面材料の種類にかかわらず勾配の増加に伴ない H/D の値は減少する傾向を示す。しかし実験による H/D の値が大きくなっているのは、図-1に示したとおり、その上半分が斜面上に出でるものの仮定したこと、斜面浸食に影響を与えるものとして考えられる雨水流の転波列および斜面材料の土質工学的性質(形状、混合状態)など的影响を考えに入れなければいけないと思われる。また、図-3は表面流速と勾配との関係、および有効応力に対する揚力の百分率と勾配との関係を表してある。この図から、斜面材料によって表面流速の値はほぼ一定値をとることがわかる。すばやく、斜面の崩壊は同一粒径の砂れきにおいては、表面流速が一定の値をとるようすが水深と勾配の組合せの時に起こるものと考えられる。有効



—文獻— 12 並井謙二: Disaster Prevention Research Institute. Bulletin No. 24. 1958.

2) 八木得次・入江義次・青木幸男：土砂の水力輸送に関する研究，彦根技術研究所報告
第6巻上号，1967